





Магистерская диссертация

«Численный расчёт температурных полей на поверхности макета моноблока дивертора ИТЭР при высоких тепловых нагрузках»

Студент гр.ТФ-13м-17 <u>Семашкин Д.Ю.</u> Научный руководитель проф. <u>Будаев В.П.</u>



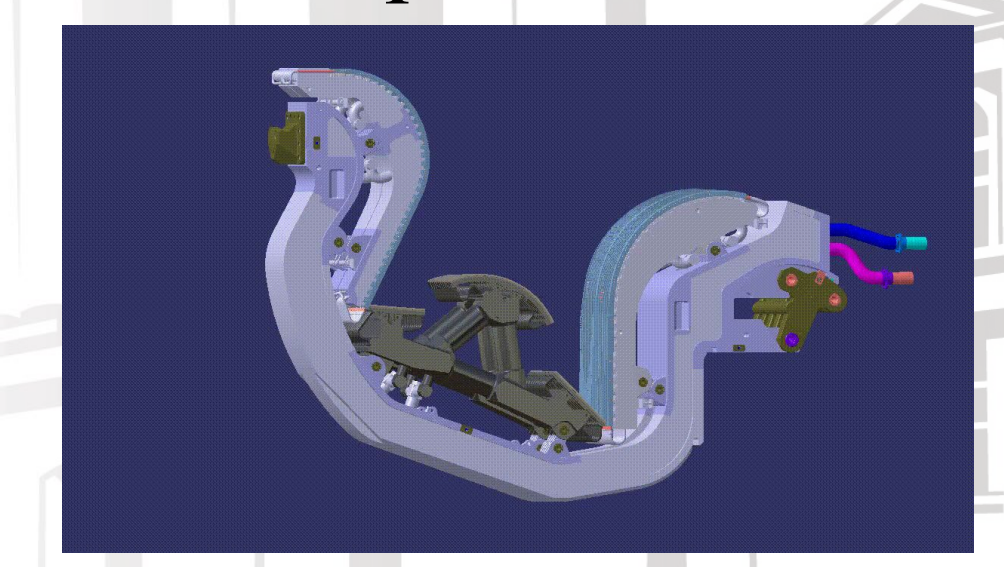




Цель работы:

Численный расчет температурных полей по поверхности макета моноблоков дивертора ИТЭР под воздействием высокоинтенсивных стационарных

и импульсных тепловых нагрузок $(10 \div 20 \text{ MBt/m}^2)$



Июнь 2019 Семашкин Д.Ю. Раде 2







Структура работы:

- Расчёт контура распределения температурных полей макета моноблоков дивертора ИТЭР под воздействием высокоинтенсивного стационарного и импульсного теплового потока с помощью программного пакета ANSYS Fluent
- Обработка результатов испытания зоны №3 полностью вольфрамового обращенного к плазме компонента внешней вертикальной мишени полномасштабного прототипа W-TA-OT-PROTO-1
- Сравнение результатов теплогидравлического анализа на базе расчётной модели и результатов теплового картирования прямого ОПК зоны №3









Основные этапы задачи моделирования

- 1. Создание CAD-модели исследуемого изделия
- 2. Создание сеточной модели расчётной зоны на базе геометрической
- 3. Создание расчётной модели из сеточной путём наложения расчётных условий
- 4. Поиск решения
 - 5. Представление результатов расчёта

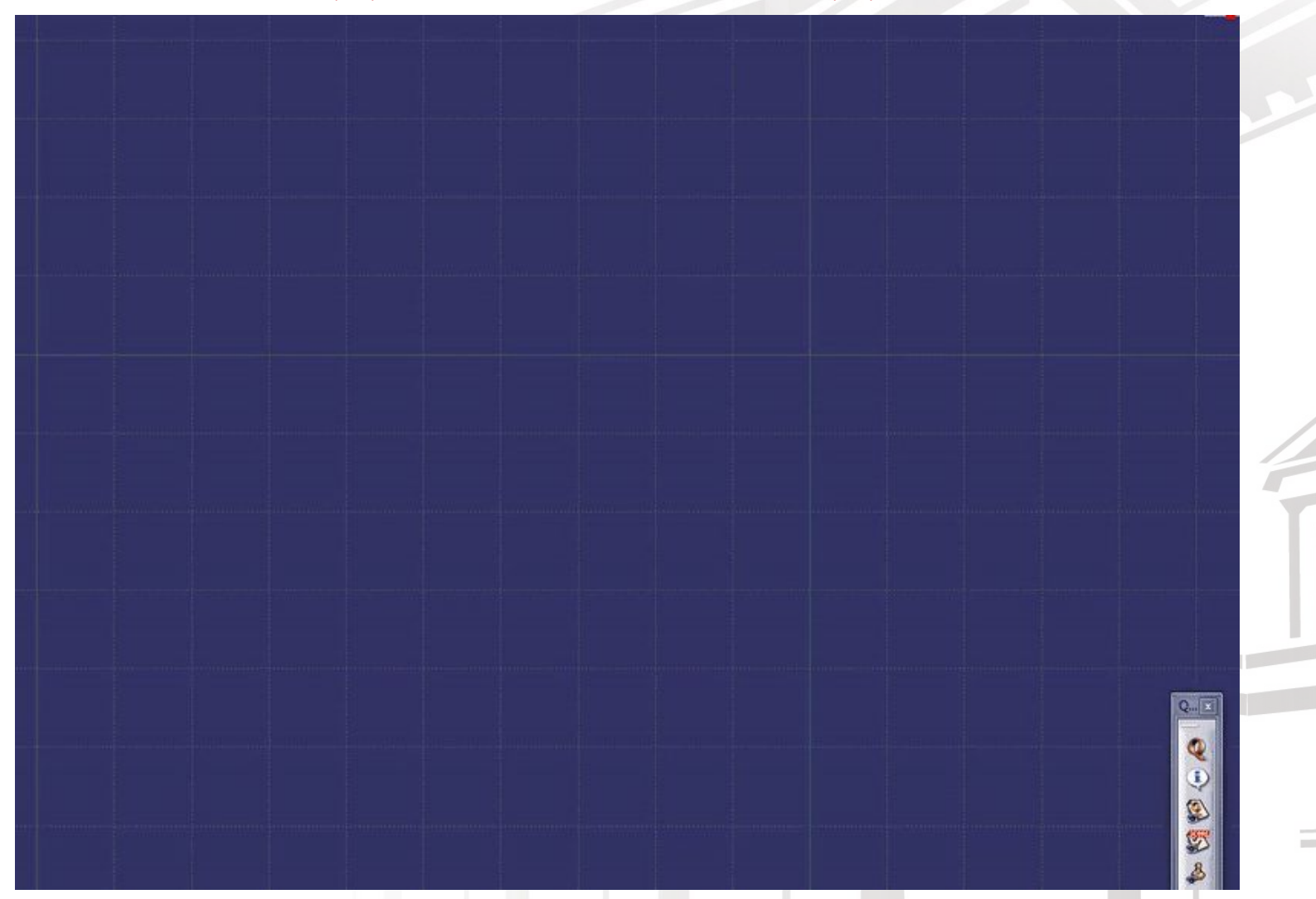








Создание CAD-модели

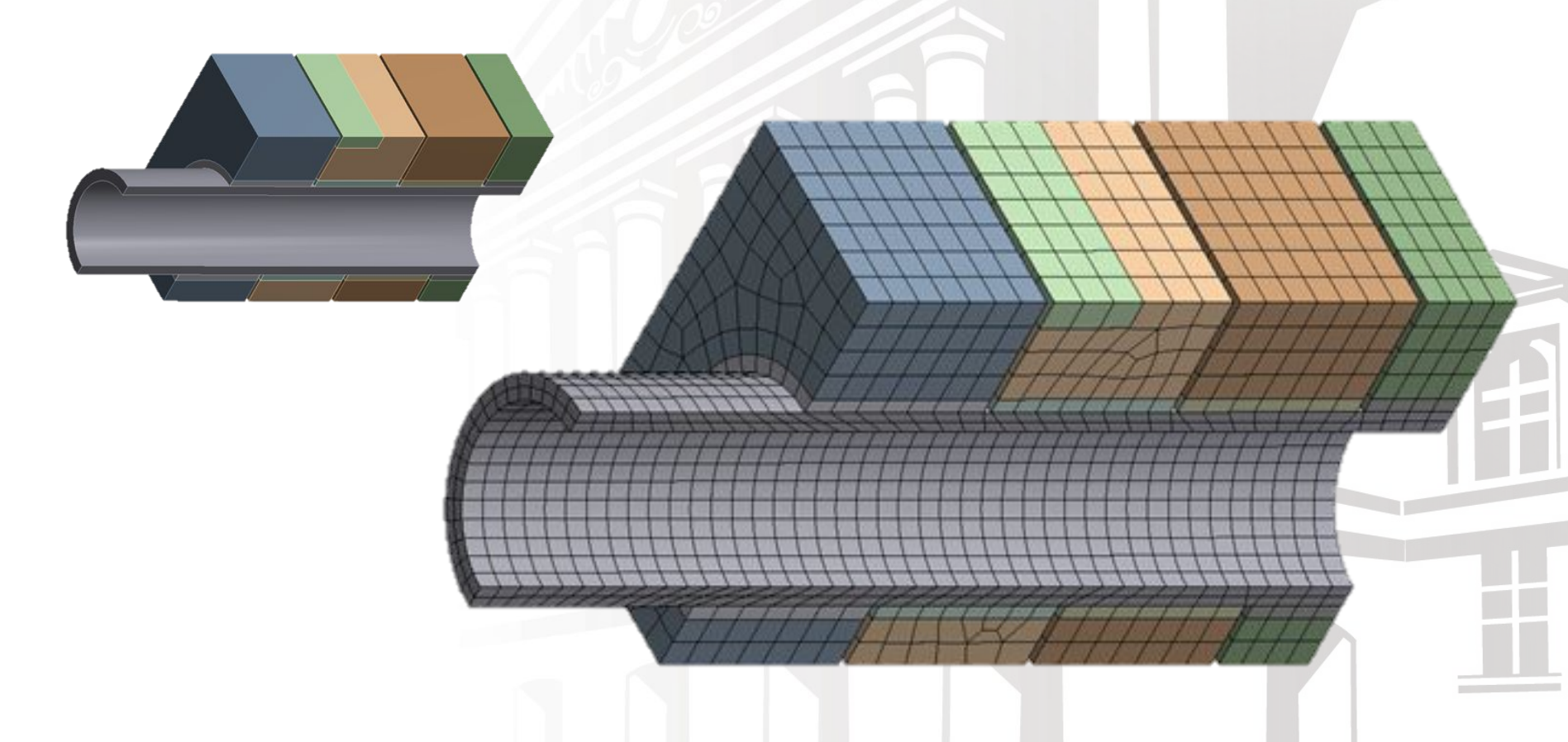








Создание сеточной модели расчётной зоны на базе геометрической











Создание расчётной модели из сеточной путём наложения расчётных условий

• Для каждого локального элемента записывается система законов сохранения массы, импульса и энергии в интегральной форме, которая затем преобразуется к системе алгебраических уравнений относительно искомых величин в центрах расчётных ячеек.

В общем виде 3С можно записать:

$$\frac{d}{d\tau} \int_{V} \rho \varphi dV + \oint_{A} \rho \varphi U dA = \oint_{A} \Gamma_{\varphi} \nabla \varphi dA + \int_{V} S_{\varphi} dV$$









Задание уравнений математической модели

- Уравнения теплопроводности без наличия тепловыделения в объеме
- Уравнения движения
- Уравнения неразрывности
- Уравнение теплообмена излучением
- Уравнение для массовой плотности турбулентной энергии
- Уравнение для скорости диссипации турбулентной энергии Полиномами задаются теплофизические свойства конструкционных материалов: плотность, теплопроводность, изобарная теплоемкость Задаются начальные и граничные условия:

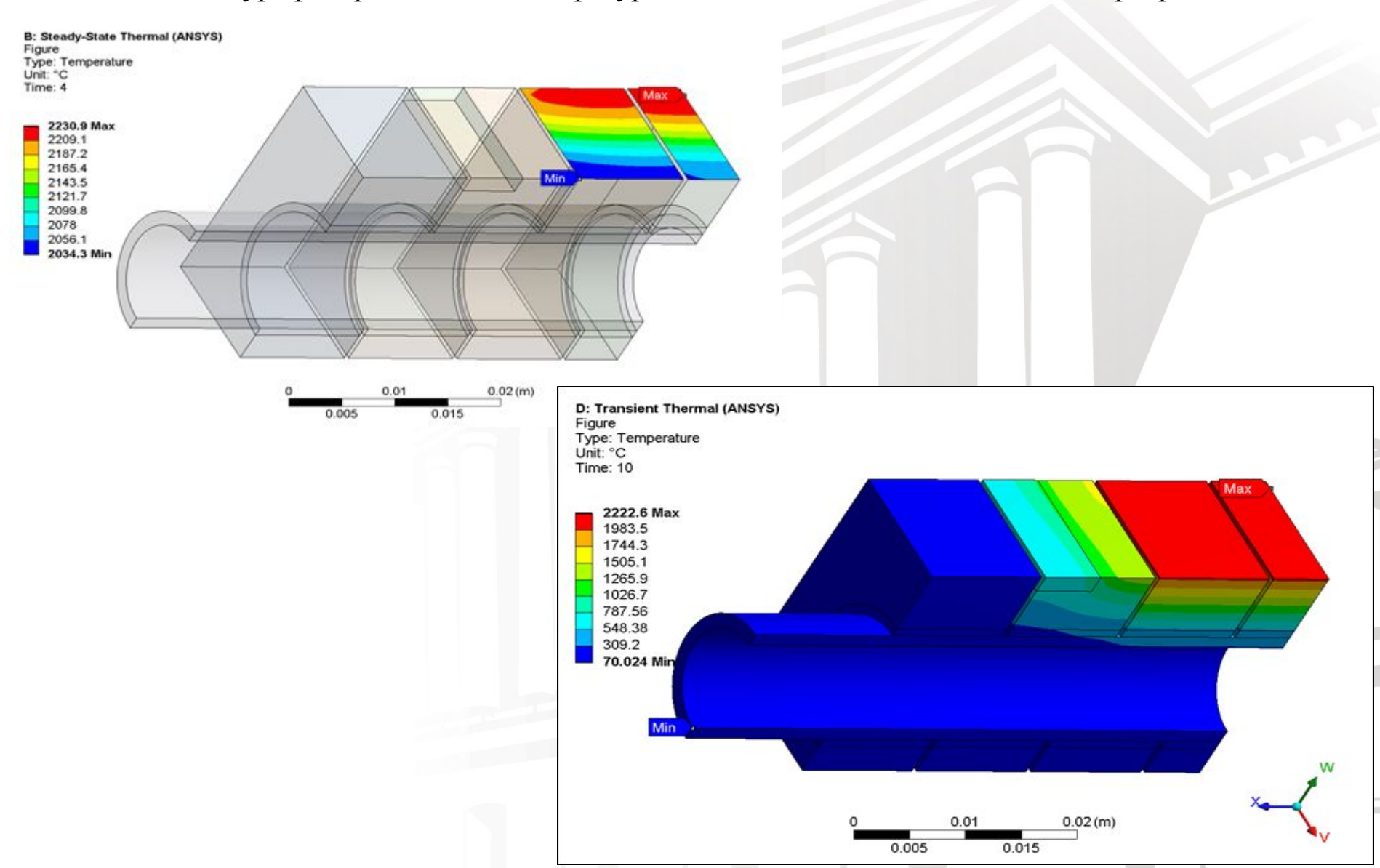
$$\overline{w} = 11 \frac{M}{c}$$
, $T = 70$ °C, $p = 3.9 \text{ M}\Pi a$
 $q = 2 \cdot 10^7 \frac{MBT}{M^2}$, $\epsilon = 0.4$









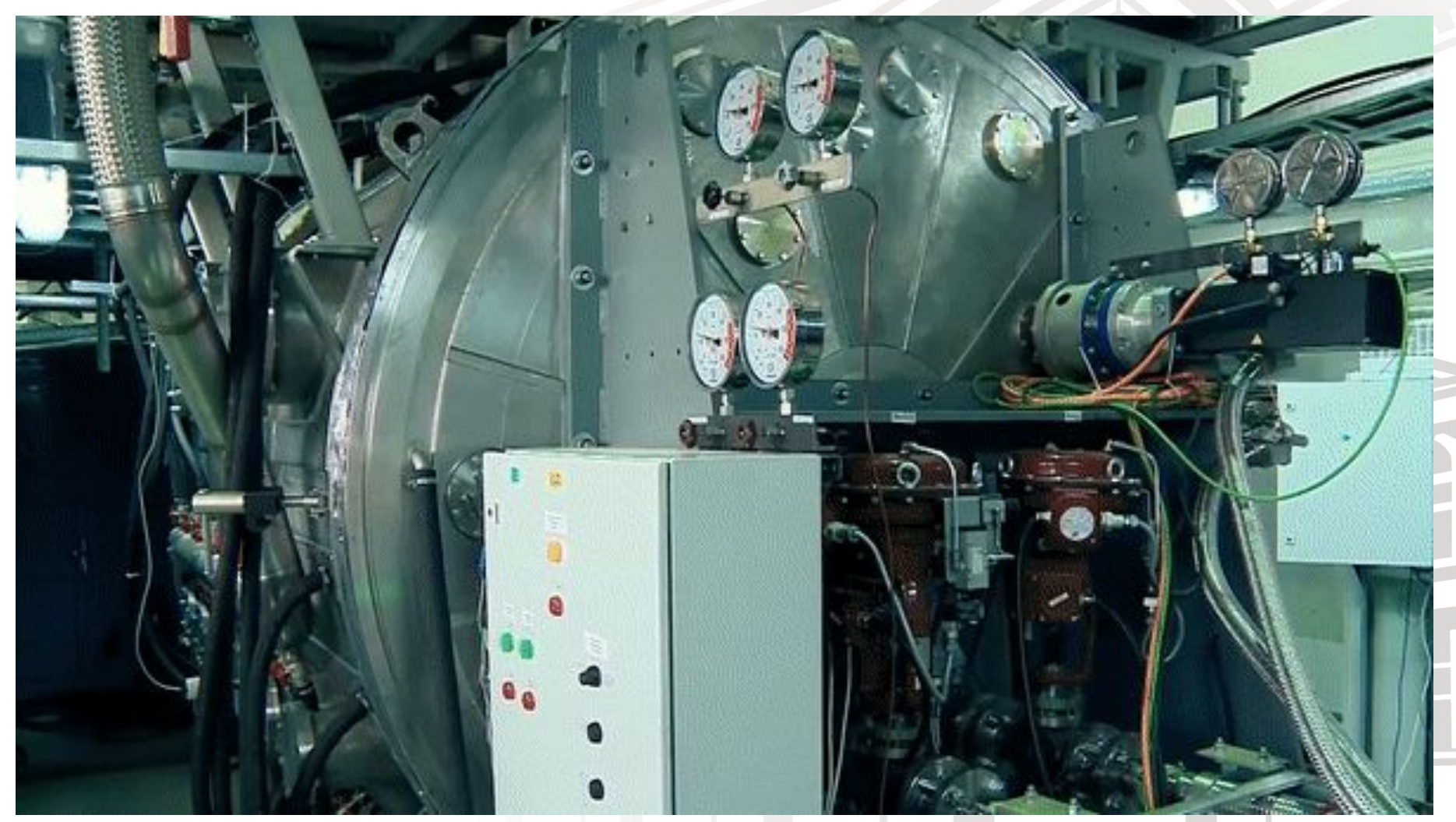








Обработка результатов испытаний зоны №3 полностью вольфрамового обращенного к плазме компонента внешней вертикальной мишени полномасштабного прототипа W-TA-OT-PROTO-1



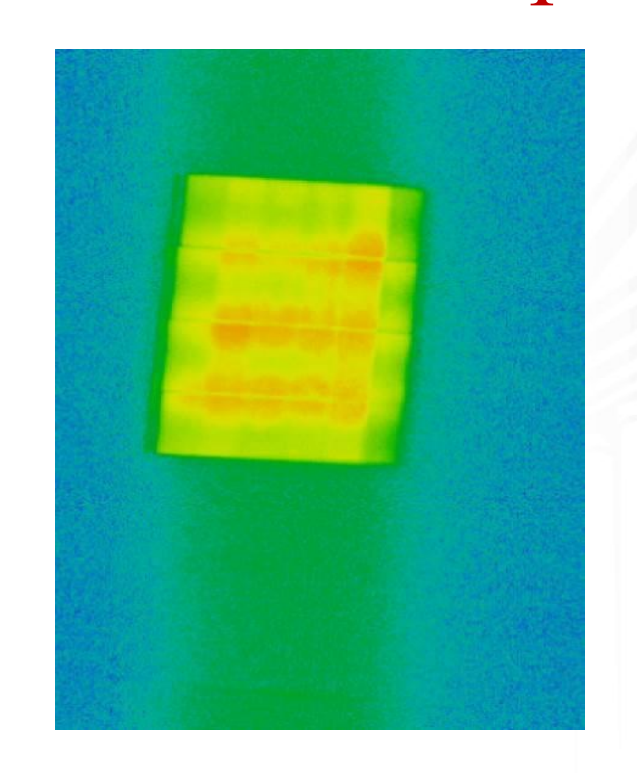


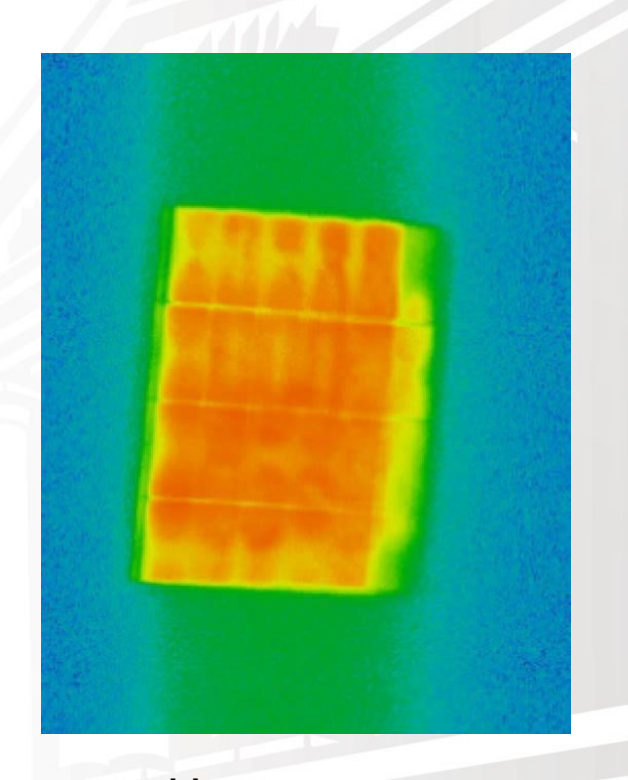


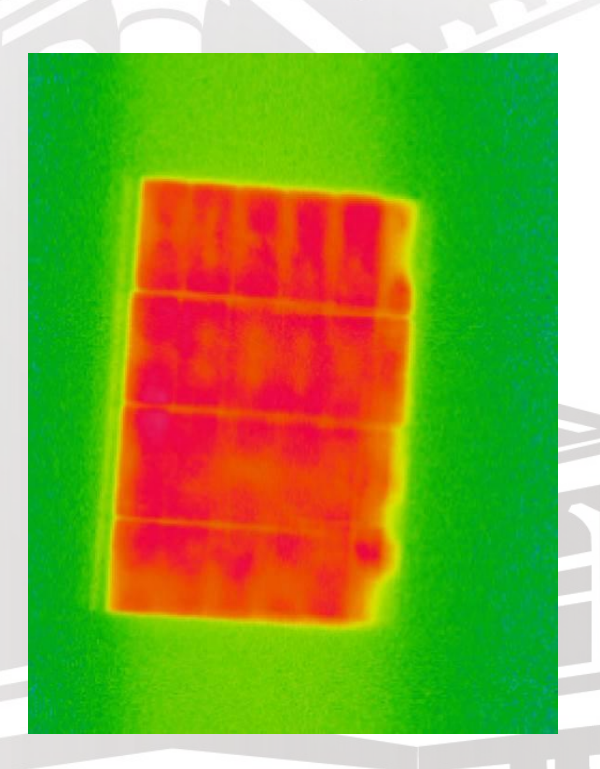


Обработка результатов тепловых испытаний прототипа W-TA-OT-PROTO-1

Графические изображения с ИК-камеры во время тепловых испытаний







Цикл: 20ый

Цикл: 420ый 700 циклов при 20 МВт/м². Зона 3

Цикл: 700ый

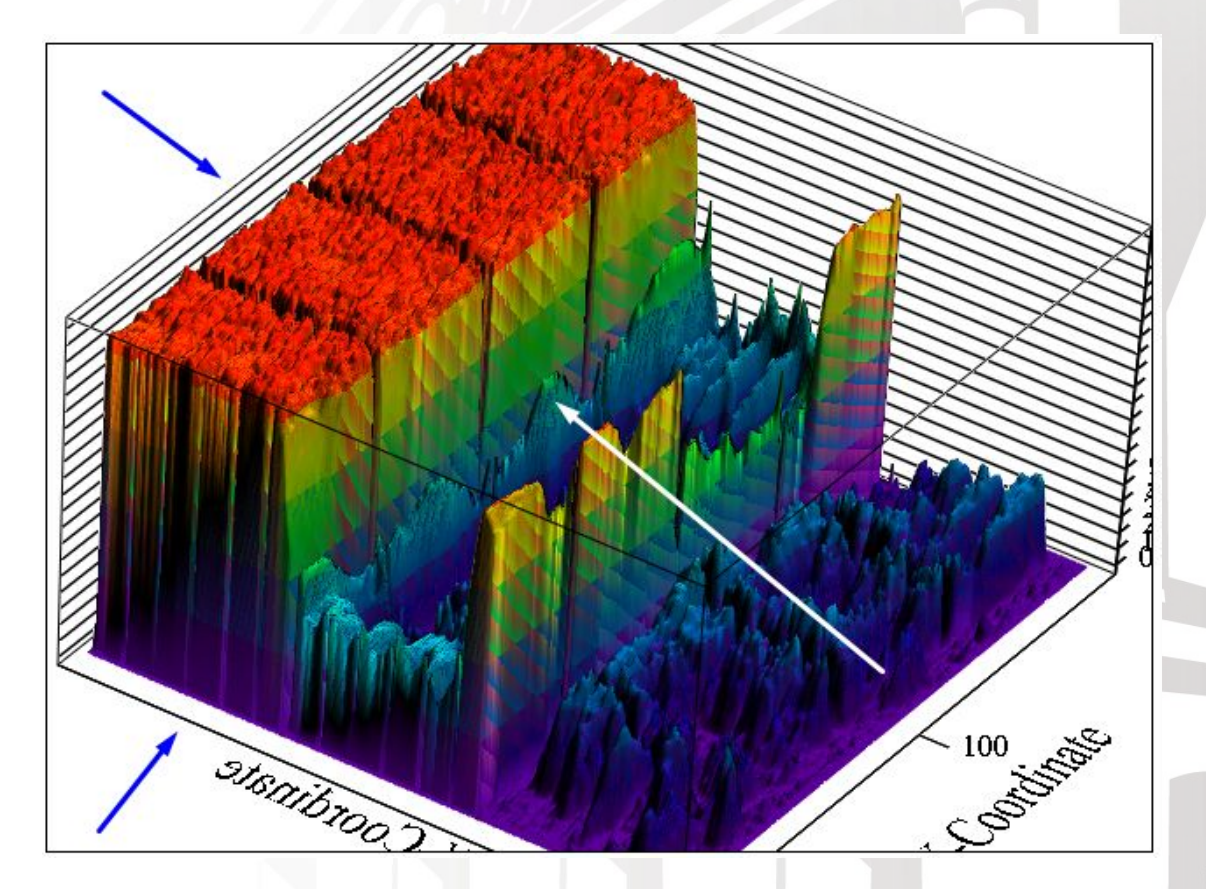






Обработка результатов тепловых испытаний прототипа W-TA-OT-PROTO-1

Преобразование графического изображения в трехмерный график температур поверхностей моноблоков





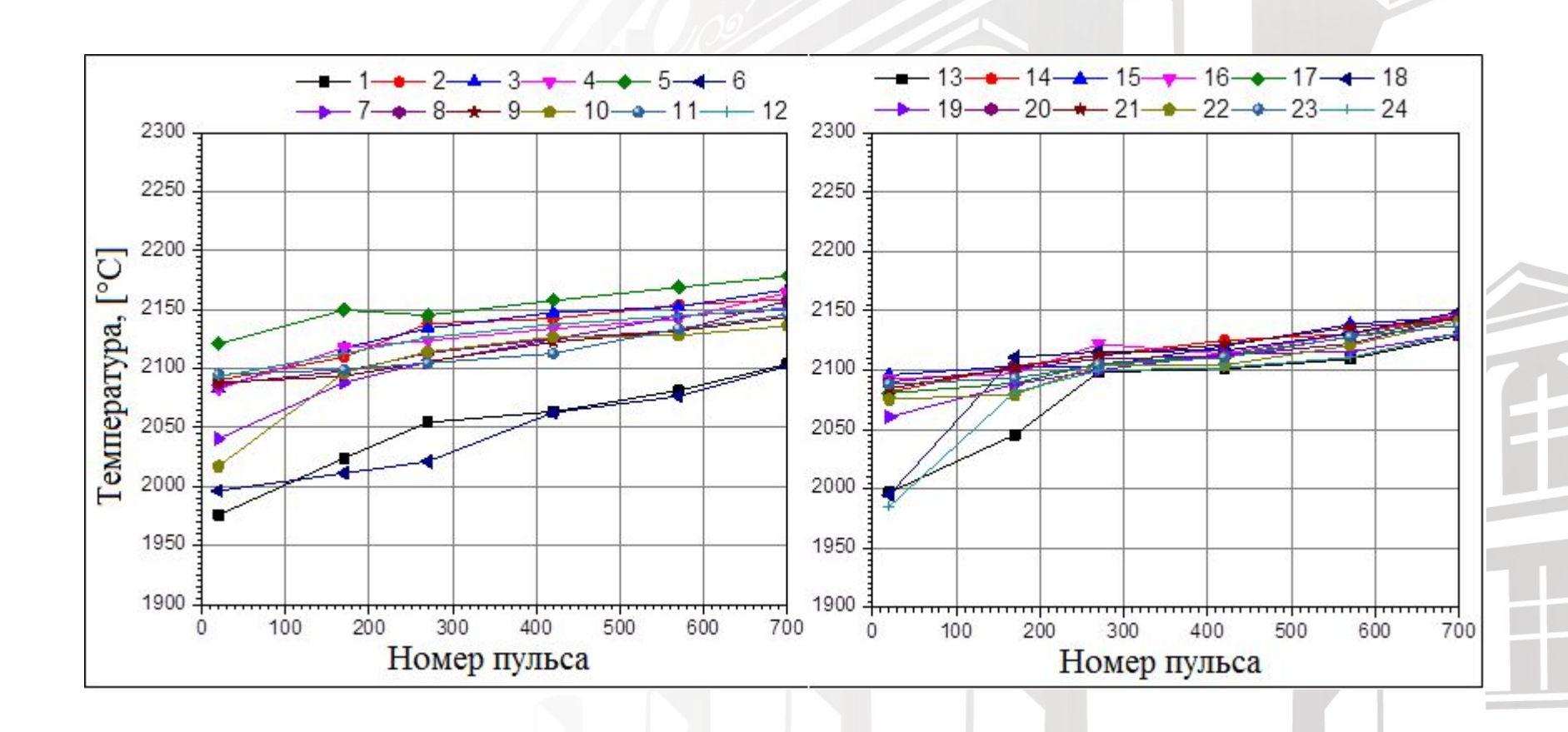






Обработка результатов тепловых испытаний прототипа W-TA-OT-PROTO-1

Графические изображения с ИК-камеры во время тепловых испытаний





Семашкин Д.Ю. Page 13







Заключение

В работе выполнен численный расчёт температурных полей на тепловоспринимающей поверхности макета вольфрамового моноблока дивертора ИТЭР при высоких тепловых нагрузках. Проведен теплогидравлический анализ трех типов конструкций макетов моноблока для двух режимом работы — Стационарного и циклического режима

- 1а. Определен контур распределения температурных полей ОПК макетов моноблоков при воздействии на них высокоинтенсивных стационарных и циклических тепловых потоков в 10, 15, 20 MBt/m^2
- 1б. Теплогидравлический анализ тепловых переходных процессов показывает хорошее согласие со стационарным режимом: максимальная температура поверхности макета после 10-секундного импульса очень близка к максимальной температуре поверхности макета при стационарном режиме.
- 2. На основании изображений поверхностей моноблоков полученных в институте им. Ефремова с ИК-камеры во время испытаний полномасштабного испытательного прототипа внешней вертикальной мишени высокой циклической тепловой нагрузкой было посчитано распределение температурного поля по поверхности испытуемых моноблоков методом растровой обработки изображений с использованием программного пакета Mathcad. Результатом преобразования являлось температурное картирование по тепловоспринимающим поверхностям моноблоков. Испытания воздействием высокоинтенсивным тепловым потоком проводились в Институте им. Ефремова в рамках обязательств России по проекту.
- 3. Средняя температура тепловоспринимающей поверхности при анализе переходного процесса на модели макета моноблока дивертора ИТЭР при воздействии тепловой нагрузки в 20 МВт/м² показывает хорошее соответствие со средней температурой поверхности ОПК при испытаниях полностью вольфрамового ОПК внешней вертикальной мишени полномасштабного прототипа W-TA-OT-PROTO-1 при воздействии циклической (700 циклов) тепловой нагрузки в 20 МВт/м²









Спасибо за внимание!



ОФиЯС Июнь 2019 Семашкин Д.Ю. Page 15







Для трехмерных задач, связанных с завихрением или вращением не требуется никаких специальных входных данных и специальных процедур решения. Существует возможность использовать цилиндрическую систему координат для определения входных граничных условий скорости на входе

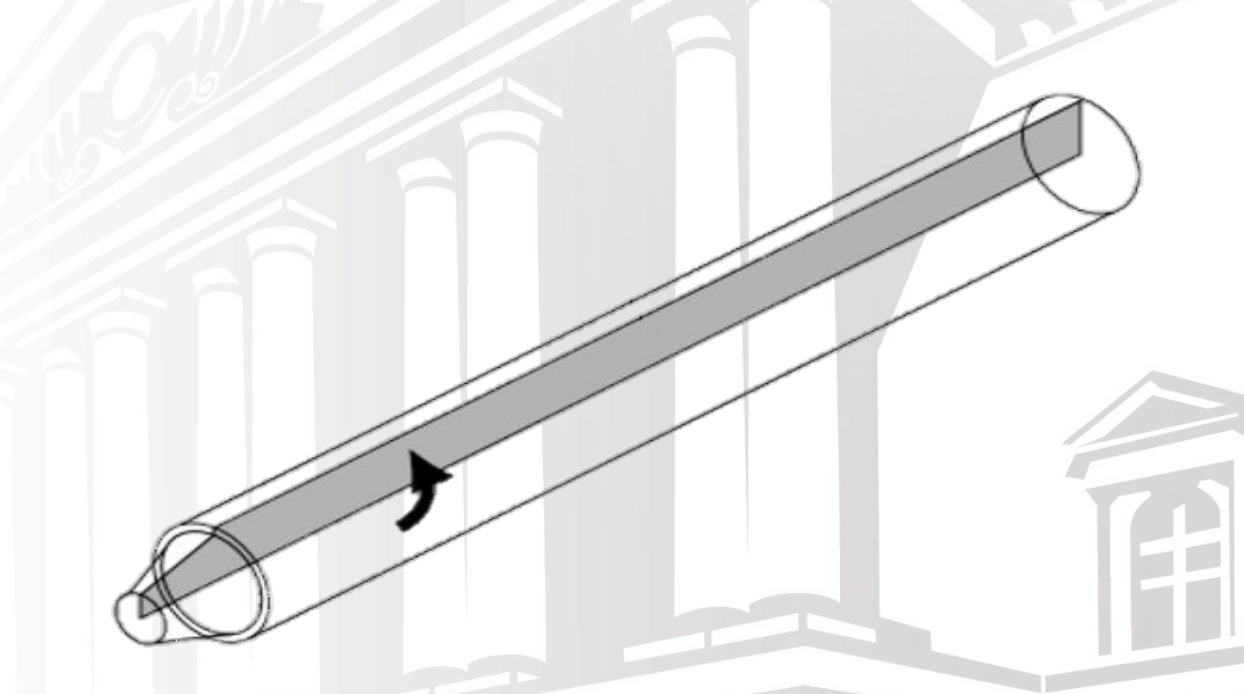
х – продольная координата

r – радиальная координата

и – продольная скорость

v – радиальная скорость

w – вращательная скорость



$$\frac{d}{dt}(\rho w) + \frac{1}{r}\frac{d}{dx}(r\rho uw) + \frac{1}{r}\frac{d}{dr}(r\rho vw) = \frac{1}{r}\frac{d}{dx}\left[r\mu\frac{dw}{dx}\right] + \frac{1}{r^2}\frac{d}{dr}\left[r^3\mu\frac{d}{dr}\left(\frac{w}{r}\right)\right] - \rho\frac{vw}{r}$$





